

ارزیابی آسیب در اتصالات قاب خمی به کمک تبدیل هیلبرت - هوآنگ

مهندسى عمران، پژوهشگاه، (پیمان ۱۳۹۵)

دوری ۲ - ۳۲، شماره ۱ / ۱ ص. ۱۱۳

غلامرضا قدرتی امیری*

مهیار طالبزاده (کارشناس ارشد)

میثم طالبی (کارشناس ارشد)

دانشکده مهندسی عمران، دانشگاه علم و صنعت ایران

زهرا تبریزیان (دانشجوی دکتری)

دانشکده مهندسی عمران، دانشگاه صنعتی نوشیروانی بافق

گذشت زمان و بارهای تصادفی از مواردی هستند که سلامت سازه را مورد تهدید قرار می‌دهند. تشخیص آسیب احتمالی سازه، نقش مهمی در کاهش میزان خسارت‌های اقتصادی و اجتماعی ایفاء می‌کند. در این نوشتار، روشی برای تعیین موقعیت و شدت آسیب به وجود آمده در اتصالات قاب‌های خمی با بهره‌گیری از ویژگی‌های مودال سازه ارائه شده است. در این روش با استفاده از پردازش شتاب پاسخ ارتعاش آزاد سازه به کمک تبدیل هیلبرت - هوآنگ، بسامدهای طبیعی و شکل‌های مودی سازه تخمین زده شده و با مقایسه‌ی احناء شکل‌های مودی محاسباتی در وضعیت‌های مختلف سازه، اقدام به شناسایی آسیب در سازه شده است. صحت روش ارائه شده بر روی یک قاب خمی ۷ طبقه‌ی بتی و یک قاب خمی ۵ طبقه‌ی فولادی مورد بررسی قرار گرفته و نتایج نشان داده است که با توجه به استفاده از تعداد محدودی از مودهای سازه، روش ارائه شده بسیار کارآمد است و بنا بر این در پاییش سلامت سازه‌های واقعی مؤثر خواهد بود.

ghodrati@iust.ac.ir
mehyar_talebzadeh@civileng.iust.ac.ir
mei_talebi@civileng.iust.ac.ir
zahra_tabrizian@nit.ac.ir

وازگان کلیدی: اتصالات قاب خمی، پایش سلامتی سازه‌ها، تبدیل هیلبرت - هوآنگ، احناء شکل مودی.

۱. مقدمه

می‌شده است. پیشرفت‌های اخیر در حوزه‌ی تکنولوژی حسن‌گرها و انتقال بی‌سیم داده‌ها منجر به مقرون به صرفه‌ترشدن و در نتیجه توسعه‌ی هر چه بیشتر روش‌های مبتنی بر سیگنال شده است.^[۱]

روش‌های معمول شناسایی آسیب در سیستم بر این فرض استوارند که گستره‌ی وسیعی از داده‌های اندازه‌گیری شده در محدوده‌ی زمانی موجود است. از این رو، روش‌های مختلفی برای شناسایی سیستم ارائه شده است. به طور کلی روش‌های شناسایی آسیب، ابزارهای حوشمندی مبتنی بر پردازش پاسخ سازه‌ها به منظور تشخیص تغییرات احتمالی در آن‌ها هستند.^[۲] آنچه‌ای که پارامترهای مودال مانند بسامدهای طبیعی و شکل‌های مودی، کمیت‌های کلیدی در بررسی رفتار دینامیکی سازه هستند،^[۳] روش‌های جامع شناسایی آسیب، این پارامترها را به منظور تشخیص آسیب‌دیدگی مورد بررسی قرار می‌دهند.^[۴]

یکی از روش‌های مبتنی بر سیگنال، بر پایه‌ی بررسی شکل‌های مودی سازه است. شکل مودی، پارامتر منحصر به فردی از سازه است؛ که بسیاری از پژوهشگران بر این باورند که شکل مودی می‌تواند به عنوان یک شاخص قابل اطمینان در بررسی سلامت سازه مورد استفاده قرار گیرد. از این رو روش‌های متعددی برای تخمین خسارت سازه بر مبنای شکل مودی یا مشتقات آن ارائه شده است. اندازه‌گیری شکل

توسعه‌ی سازه‌های هوشمند و پایش سلامت سازه در رشته‌ی مهندسی عمران در دهه‌های اخیر، اهمیت خاصی داشته و توجه جامعه‌ی دانشگاهی، پژوهشگران و صنعت را به خود جلب کرده است. بررسی روش‌های پایش، جمع‌آوری و پردازش داده‌ها، آنالیز و تفسیر داده‌های اندازه‌گیری شده و تصمیم‌گیری در مورد آن‌ها، خود نیازمند تخصص و پیشه است. ابداع انواع مختلف روش‌های پردازش و شیوه‌های آنالیز، به طور چشم‌گیری فاصله‌ی بین مفاهیم و کاربرد عملی آن‌ها را کاهش داده و این امکان را فراهم آورده است تا با استفاده از سیستم‌های پایش قابل اطمینان، بتوان رفتار سازه را در مراحل مختلف ساخت و بهره‌برداری کنترل کرد.^[۵]

سیستم‌های کنترل سازه به گونه‌ی تنظیم می‌شوند تا رفتار سازه را در اثر ارتعاشات طبیعی و اجباری مورد بررسی قرار دهد. سیستم‌های کنترل، باید داده‌های اندازه‌گیری شده توسط حسن‌گرها متصل به سازه را جمع‌آوری و نگهداری کنند. در ابتدا از کابل برای ارتباط بین حسن‌گرها و محل نگهداری و پردازش آن‌ها استفاده

* نویسنده مسئول

تاریخ: دریافت ۱۲/۳/۱۳۹۲، اصلاحیه ۱۴/۴/۱۳۹۳، پذیرش ۲۱/۴/۱۳۹۳.

با استفاده از تبدیل هیلبرت تابع (t, z) , تابع تحلیلی (t, x) , به کمک معادله ۲ بیان می‌شود:

$$z(t) = x(t) + jy(t) = a(t)e^{j\theta(t)} \quad (\text{r})$$

در رابطه‌ی ۲، a دامنه‌ی آنی و θ تابع فاز آنی هستند (روابط ۳ و ۴) و $j = \sqrt{-1}$ است:

$$a(t) = (x^{\mathfrak{r}} + y^{\mathfrak{r}})^{1/\mathfrak{r}} \quad (\mathfrak{r})$$

$$\theta(t) = \tan^{-1} \frac{y}{x} \quad (\dagger)$$

در نتیجه، بسامد آنی به صورت رابطه‌ی ۵ به دست می‌آید:

$$\omega = -\frac{d\theta}{dt} \quad (5)$$

از آنجایی که بسامد و دامنه، تابعی از زمان هستند، دامنه می‌تواند به صورت تابعی از زمان و بسامد $(H(w, t))$ تعریف شود. در نتیجه طیف حاشیه‌یی به صورت رابطه‌ی \mathcal{U} تعریف خواهد شد، که در آن $[T, 0]$ محدوده‌ی تعریف داده‌است. طیف حاشیه‌یی، نشان‌دهنده‌ی دامنه‌ی حاشیه‌یی در کل محدوده‌ی داده‌هاست و بیانگر مشاکت، ه سامد است.^[۱۵]

$$h(\omega) = \int^T H(\omega, t) dt \quad (8)$$

۲.۲. تفکیک تجزیه مودی

جداسازی بر این فرض استوار است که در هر نقطه‌ی زمانی، داده‌ها شامل مودهای نوسانی با بسامدهای مختلف باشند. چنانچه هر مؤلفه شرایط خاص اشاره شده در ذیل را ارضاء کند، به عنوان یکتابع مود ذاتی در نظر گرفته می‌شود.^{۱۷۵}

- در تمام سیگنال، تعداد اکسترمم‌ها و تعداد برخورد منحنی با محور افقی (تعداد صفرها) باید کمتر از یک واحد اختلاف داشته باشند.
 - در هر نقطه، میانگین پوش تعریف شده توسط بیشینه‌های محلی و پوش تعریف شده توسط کمینه‌های محلی صفر باشد.

با توجه به فرضیات ذکر شده، یک سری زمانی اختیاری می‌تواند در یک فرایند جداسازی، به توابع مودی ذاتی تفکیک شود. پروسه‌ی جداسازی به این شرح است:

 ۱. تعیین تمامی اکسترمم‌های محلی سیگنال اصلی؛
 ۲. تعیین پوش بالایی حاصل از اتصال نقاط بیشینه؛
 ۳. تعیین پوش نایینه، حاصل از اتصال نقاط کمینه.

تمامی داده‌ها باید بین پوش‌های بالای و پایینی قرار گیرند. متوسط پوش بالایی و پایینی m_1 نامیده می‌شود. تفاوت بین اطلاعات و m_1 ، اولین اختلاف محتوایی است، که با h_1 نمایش داده می‌شود (رابطه‌ی ۷):

$$h_1 = x(t) - m_1 \quad (\forall)$$

که در آن، h_1 باید شرایط مربوط به یک تابع مود ذاتی را ارضاء کند. در مراحل بعدی جداسازی، h_1 به عنوان اطلاعات اصلی (سیگنال اصلی) در نظر گرفته می‌شود.

$$h_{\perp} - m_{\perp \perp} = h_{\perp \perp} \quad (\wedge)$$

مودی سازه‌ها می‌تواند با استفاده از یک تحریک مرکز و تعداد بیشتری حسگر و یا یک مولد متغیر و یک یا تعداد بیشتری حسگر ثابت انجام شود. روش‌های بسیاری جهت استخراج شکل‌های مودی براساس تحلیل مودال در محدوده‌ی زمانی ارائه شده است.^[۱۳-۷]

حس‌گرهای نصب شده در سازه به دست می‌آیند، را نمی‌توان مستقیماً و به منظور تعیین و تشخیص آسیب در سازه به کار برد. بنابراین این سیگنال‌ها باید پردازش شوند، تا بتوان اطلاعات موردنیاز درخصوص پارامترهای سازه‌یی را برای فرایند شناسایی خسارت از آن‌ها استخراج کرد. برخی پژوهشگران در سال ۱۹۹۸، روشی جدید برای آنالیز داده‌ها براساس نفکیک مودی تجربی ارائه کرده‌اند. این روش، سیگنال را به مؤلفه‌های تک بسامدی تجزیه می‌کند و مجموعه‌یی از توابع مود ذاتی را تولید می‌کند. ترکیب روش نقکیک مودی و تبدیل هیلبرت، با عنوان تبدیل هیلبرت - هوانگ (HHT)^۱ شناخته می‌شود. هدف از تبدیل هیلبرت، به دست آوردن بسامد و دامنه‌ی آنی توابع مود ذاتی و فراهم کردن توزیع دامنه نسبت به زمان و بسامد است.^[۱۶-۱۴]

در این نوشتار، ابتدا در بخش دوم به تفسیر روش هیلبرت - هوآنگ به همراه روش تفکیک مودی تجزیی پرداخته شده است. در قسمت سوم، روشی برای استخراج شکل‌های مودی برایه‌ی داده‌های خروجی سازه‌های چند درجه آزادی، بر مبنای تبدیل هیلبرت - هوآنگ پیشنهاد شده است. با بررسی میران تغییرات انحنای شکل مودی، روشی برای شناسایی آسیب در بخش چهارم ارائه شده و صحت روش ارائه شده، در بخش پنجم بر روی دو قاب ساختمانی ۵ و ۷ طبقه مورد بررسی قرار گرفته است.

۲. تیدیل ہیلپر - ہوآنگ

آنالیز داده‌ها یکی از راه‌های مؤثر در شناسایی ویژگی‌های یک پدیده است. در گذشته، بیشتر روش‌های پردازش داده‌ها شامل محدودیت‌هایی بودند که سبب ضعف آن‌ها در پردازش انواع مختلف داده‌ها می‌شدۀ است. تبدیل هیلبرت - هوآنگ، که شامل تفکیک مودی تجربی (EMD)^۱ و تحلیل طیفی هیلبرت (HSA)^۲ است، روشی نوین در تحلیل داده‌های غیراستاتی و غیرخطی است. EMD بخش کلیدی تبدیل هیلبرت - هوآنگ است، که هر نوع داده‌ی پیچیده را به تعداد محدودی تابع مودی ذاتی (IMF)^۳ تفکیک می‌کند. بسامد آنی حاصل از HSA یک IMF، مفهوم فیزیکی دقیق‌تری نسبت به HSA یک سری زمانی تفکیک‌نشده ارائه می‌دهد. از آنجایی که این تفکیک بر مبنای ویژگی‌های محلی داده‌است، این روش در پردازش داده‌های غیرخطی، غیراستاتی مؤثر خواهد بود.^[۱۷، ۱۵]

۱.۲. تحلیل طیفی هیلبرت

تعیین بسامد و دامنه‌ی آنی، روشی برای بیان حالت غیرایستاست. به همین منظور تحلیل طیفی هیلبرت به عنوان بخشی از HHT در نظر گرفته شده است. برای یکتابع دلخواه $x(t)$ ، تبدیل هیلبرت آن $y(t)$ ، به صورت رابطه‌ی ۱ تعریف می‌شود، که در آن P بیانگر مقدار ویژه‌ی انتگرال مفرد است:

$$y(t) = \frac{1}{\pi} P \int_{-\infty}^{\infty} \frac{x(\tau)}{t - \tau} d\tau \quad (\text{1})$$

۳. تعیین شکل‌های مودی

شکل‌های مودی متناظر با بسامدهای طبیعی، با تکیه بر اصول دینامیک سازه‌ها قابل تعیین هستند. پاسخ یک سازه‌ی n درجه‌ی آزادی ($x(t)$)، در محدوده زمانی به کمک معادلات ۱۶ تعریف می‌شود:^[۱۸]

$$\begin{aligned} x(t) &= \sum_{j=1}^n \phi_j \nu_j(t) \\ \ddot{x}(t) &= \sum_{j=1}^n \phi_j \ddot{\nu}_j(t) \end{aligned} \quad (16)$$

که در آن، $\phi_j = [\phi_{1,j}, \phi_{2,j}, \dots, \phi_{n,j}]^T$ ، زمین بردار مودی و $\nu_j(t)$ ، زمین پاسخ مودی هستند. با استفاده از اعمال تفکیک مودی تجربی بر پاسخ سازه و انتخاب تابع مودی ذاتی دارای محتوای زمین بسامد طبیعی، می‌توان به تخمین مناسبی از $\nu_j(t)$ دست یافت.^[۱۹] بنابراین روابط ۱۷ با استفاده از پاسخ سازه و اعمال تفکیک مودی تجربی حاصل می‌شوند:

$$IMF_1 = \{IMF_{11}, IMF_{12}, \dots, IMF_{m1}\}$$

$$IMF_2 = \{IMF_{12}, IMF_{22}, \dots, IMF_{m2}\}$$

⋮

$$IMF_n = \{IMF_{1n}, IMF_{2n}, \dots, IMF_{mn}\} \quad (17)$$

که در آن، n تعداد درجات آزادی و m تعداد تجزیه‌ی مودی هر پاسخ سازه، توسط تفکیک مودی تجربی است. با انتخاب یک درجه آزادی به عنوان درجه‌ی آزادی مرتع (r)، شکل‌های مودی با استفاده از روابط ۱۸ و به کمک ضرب داخلی عناصر تجزیه‌شده قابل تعیین هستند:

$$\begin{aligned} \phi_{11} &= \frac{IMF_{11}.IMF_{1r}}{IMF_{1r}^r}, \dots, \phi_{1n} = \frac{IMF_{1n}.IMF_{1r}}{IMF_{1r}^r} \\ \phi_{21} &= \frac{IMF_{12}.IMF_{1r}}{IMF_{1r}^r}, \dots, \phi_{2n} = \frac{IMF_{2n}.IMF_{1r}}{IMF_{1r}^r} \\ &\vdots \\ \phi_{nr} &= \frac{IMF_{nn}.IMF_{nr}}{IMF_{nr}^r}, \dots, \phi_{rn} = \frac{IMF_{nn}.IMF_{nr}}{IMF_{nr}^r} \end{aligned} \quad (18)$$

۴. شناسایی آسیب بر مبنای انحنای شکل مودی

استفاده از انحنای شکل‌های مودی برای آشکارسازی آسیب براین اصل استوار است که تغییرات انحنای شکل‌های مودی میتواند با حساسیت پیشتری، ناحیه‌ی آسیب دیده را پیش‌بینی کند. عمولاً انحنای طبق رابطه ۱۹ و براساس تخمین اختلاف مرکزی شکل‌های مودی محاسبه می‌شود:^[۲۰]

$$\bar{\nu}_{i,j} = \frac{\phi_{(i+1)j} - 2\phi_{ij} + \phi_{(i-1)j}}{h^2} \quad (19)$$

که در آن، $\bar{\nu}_{i,j}$ بیانگر انحنای مودی، i شماره‌ی گره، j شماره‌ی شکل مودی، h فاصله‌ی بین گره‌ها و ϕ شکل مودی i این گره در زمین مود است. تغییرات در انحنای شکل مودی، از تفاصل بردار انحنای شکل مودی سازه‌ی آسیب دیده و سازه‌ی

پس از k نکرار، h_k تبدیل به یک تابع مودی ذاتی می‌شود (رابطه ۹):

$$h_{1(k-1)} - m_{1k} = h_{1k} \quad (9)$$

در نتیجه اولین مؤلفه‌ی تابع مودی ذاتی به صورت رابطه ۱۰ تعریف می‌شود:

$$c_1 = h_{1k} \quad (10)$$

معیارهای متفاوتی برای پایان پروسه‌ی جداسازی به کار گرفته شده است. یکی از پرکاربردترین آن‌ها، معیاری است که توسط هوانگ و همکاران در سال ۱۹۹۸ استفاده شده است. این معیار به آزمایش مدل میزان هم‌گرایی کاوهچی^۵ معروف است (رابطه ۱۱):

$$SD_k = \frac{\sum_{t=1}^T |h_{k-1}(t) - h_k(t)|^r}{\sum_{t=1}^T h_{k-1}^r(t)} \quad (11)$$

هنگامی که مقدار رابطه ۱۱ از یک مقدار معین کمتر شود، بیانگر پایان پروسه‌ی جداسازی خواهد بود.

معیار دیگری که جهت پایان پروسه‌ی جداسازی ارائه شده است، معیار S است. براساس این معیار، پروسه‌ی جداسازی بعد از اینکه تعداد اکسترموم‌ها و برخورد با محورها کمتر از یک واحد، اختلاف داشته باشد و این مقدار در S مرحله ثابت باشد، پایان می‌یابد.

زمانی که که معیار پایانی ارضاء شد، اولین تابع مودی ذاتی (c_1) به دست خواهد آمد. c_1 باید شامل کوتاه‌ترین دوره‌ی تناوب نوسان در سیگنال باشد. با جداسازی c_1 از سیگنال اصلی، سیگنال باقیمانده r_1 ، که شامل دوره‌های تناوب بالاتر در اطلاعات سیگنال است، به دست می‌آید (رابطه ۱۲):

$$x(t) - c_1 = r_1 \quad (12)$$

تابع باقیمانده به عنوان سیگنال جدید در نظر گرفته می‌شود و پروسه‌ی جداسازی بر روی آن اعمال می‌شود. این پروسه بر روی r_n های متوالی انجام می‌شود (رابطه ۱۳):

$$\begin{aligned} r_1 - c_1 &= r_2 \\ &\dots \\ r_{n-1} - c_n &= r_n \end{aligned} \quad (13)$$

پروسه‌ی جداسازی تا زمانی که باقیمانده r_n ، به یک تابع یکنواخت تبدیل شود، ادامه می‌یابد. با ترکیب معادلات ۱۲ و ۱۳ مشاهده می‌شود که سیگنال اصلی به n تابع مودی ذاتی و باقیمانده r_n تجزیه شده است (معادله ۱۴):

$$x(t) = \sum_{j=1}^n c_j + r_n \quad (14)$$

بعد از اعمال تبدیل هیلبرت به هر یک از مؤلفه‌های تابع مودی ذاتی و تعیین بسامد (ω_j) و دامنه‌ی آنی (a_j)، سیگنال اصلی به صورت معادله ۱۵ بیان می‌شود:

$$X(t) = \operatorname{Re} \left\{ \sum_{j=1}^n a_j(t) e^{i \int \omega_j(t) dt} \right\} \quad (15)$$

که در آن، $\operatorname{Re}\{\cdot\}$ بیانگر بخش حقیقی رابطه‌ی داخلی است.

سالم مطابق رابطه‌ی ۲۰ قابل تعیین است:

$$\Delta \bar{\nu}_{i,j} = \bar{\nu}_{i,j}^{(d)} - \bar{\nu}_{i,j}^{(u)} \quad (20)$$

تغییرات انحنای شکل مودی در هر گره می‌تواند با استفاده از رابطه‌ی ۲۱ نرمال شود و در یک دامنه قرار گیرد:

$$\Delta \nu_{i,j} = \left[1 + \frac{\Delta \bar{\nu}_{i,j}}{\max(\Delta \bar{\nu}_{i,j}) - \min(\Delta \bar{\nu}_{i,j})} \right]^n \quad (21)$$

ضریب انحنای آسیب (CDF)^۶ به عنوان شاخصی از موقعیت آسیب به کار می‌رود. ضریب انحنای آسیب برابر با میانگین تغییرات نرمال شده انحنای شکل مودی در تمامی مودهای مورد نظر است. ضریب انحنای آسیب برای نامین گره و N مود اول، به کمک رابطه‌ی ۲۲ محاسبه می‌شود:

$$CDF_i = \frac{1}{N} \sum_{j=1}^N \Delta \nu_{i,j} \quad (22)$$

۵. بررسی صحت عملکرد الگوریتم پیشنهادی

در این بخش صحت عملکرد روش ارائه شده بر روی مدل عددی یک قاب ۷ طبقه‌ی دو بعدی و مدل عددی یک مدل آزمایشگاهی مبنا مورد بررسی قرار گرفته است. برای مدل سازی از نرم افزار متون باز OpenSees استفاده شده است. این نرم افزار با جزئیات مختلف و قدرتمند برای شبیه‌سازی عددی سیستم‌های خطی و غیرخطی و همچنین توانایی تحلیل‌های استاتیکی و دینامیکی است.

۱.۵. مدل عددی یک قاب ۷ طبقه

به منظور مدل سازی یک قاب یک دهانه‌ی ۷ طبقه‌ی دو بعدی بتن مسلح، از نرم افزار OpenSees^{۲,۴,۰} استفاده شده است. عرض دهانه برابر با ۵ متر و ارتفاع هر یک از طبقات برابر با ۳ متر در نظر گرفته شده است. اتصال تیر به ستون توسط فزرها پیچشی مدل شده است. در حالت سالم سختی فزرها به گونه‌یی است که بیانگر شرایط گیرداری باشد. مقاطع تیرها و ستون‌ها به ترتیب $5 \times 5 \times 4 \times 3 \times 5$ متر و $5 \times 5 \times 3$ متر در نظر گرفته شده است، تا قاب موردنظر شرایط یک سیستم ستون قوی - تیر ضعیف را به خوبی ارضاء کند. شرایط خاک در مدل سازی در نظر گرفته نشده و فرض شده است که ستون‌ها به صورت گیردار به زمین متصل شده‌اند.^[۲۱] برای مشاهده‌ی پاسخ ارتعاشی سازه، از ۷ حسگر نصب شده در وسط دهانه‌ی طبقات استفاده شده است. شکل ۱، یک مدل شماتیک از قاب موردنظر به همراه موقعیت‌ها و فزرها را نمایش می‌دهد.

بنابراین با مقاومت 28 روزه‌ی 20 مگاپاسکال و فولاد با تنش تسلیم 415 مگاپاسکال در مدل سازی به کار گرفته شده است. مساحت آرماتور برای ستون‌ها $10 \times 10 \times 1.65 \times 1.65$ مترمربع و برای تیرها $3.5 \times 10 \times 1.6$ مترمربع در نظر گرفته شده است. جرم طبقات اول تا ششم برابر با 3816 کیلوگرم و برای طبقه‌ی هفتم 2628 کیلوگرم (با فرض وزن مخصوص بتن مسلح برابر با 2400 کیلوگرم بر مترمکعب) منظور شده است. به منظور ثبت پاسخ ارتعاش آزاد سازه، ابتدا سازه تحت ارتعاش اجباری ناشی از زلزله‌ی سن فرناندو^۷ با بزرگای $M_w = 6/6$ و $g = 375$ PGA^[۲۲] قرار گرفته و پس از آن شتاب پاسخ ارتعاش آزاد سازه در راستای افقی ثبت شده است. سیگنال‌های ثبت شده از طریق هفت حسگر در طبقات مختلف سازه، ابتدا با استفاده

از فیلتر میانگذر با ترورث^۸ مرتبه‌ی چهارم با پهنای باند $1/10$ الی $1/30$ فیلتر و سپس تفکیک مودی تجزیی شده‌اند.

شکل ۲، بسامدهای آنی حاصل از تبدیل هیلبرت - هوآنگ مربوط به مدل عددی دو بعدی در حالت سالم را نشان می‌دهد. همچنین شکل‌های مودی حاصل از نرم افزار OpenSees و شکل‌های مودی محاسباتی حاصل از روش پیشنهادی در شکل ۳ نشان داده شده‌اند.

آسیب‌دیدگی سازه، از طریق کاهش سختی فزرها موجود (در محل اتصال تیر به ستون) صورت می‌گیرد. برای این مدل، 6 سtarایروی مختلف آسیب در نظر گرفته شده است. جدول ۱، سtarایروی مختلف آسیب را نشان می‌دهد.

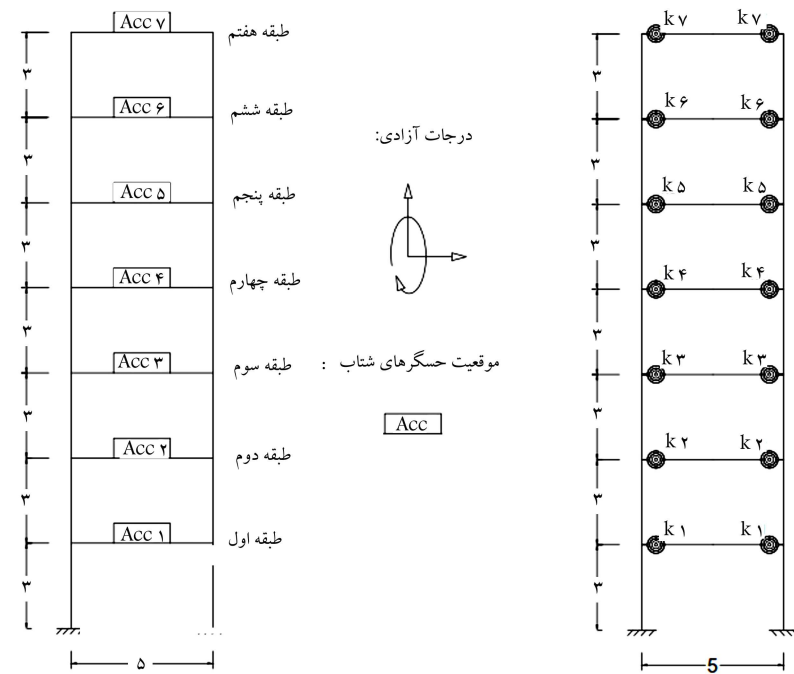
جدول ۲، مقادیر بسامد و مقادیر مربوط به پارامتر معیار اطمینان مودال (MAC)

جدول ۱. الگوی ایجاد آسیب در طبقات مدل.

سstarایروی	شدت آسیب‌دیدگی
۱	۲۰٪ کاهش سختی اتصالات طبقه‌ی ۲
۲	۴۰٪ کاهش سختی اتصالات طبقه‌ی ۲
۳	۲۰٪ کاهش سختی اتصالات طبقه‌ی ۵
۴	۴۰٪ کاهش سختی اتصالات طبقه‌ی ۵
۵	۲۰٪ کاهش سختی اتصالات طبقه‌های ۳ و ۵
۶	۴۰٪ کاهش سختی اتصالات طبقه‌های ۳ و ۵

جدول ۲. مقایسه‌ی تغییرات بسامد (هرتز) و روش MAC.

	مود اول	مود دوم	مود سوم	مود چهارم
۱۸,۲۴۳	۱۱,۷۶۵	۵,۹۲۱	۱,۷۱۲	بسامد مدل عددی (سالم)
۱۷,۷۸۷	۱۱,۲۶۱	۵,۹۱۹	۱,۷۱۱	بسامد محاسباتی (سالم)
۹۱,۸۷	۴۷,۴۴	۸۸,۶۲	۹۷,۸۱	MAC (%)
۱۷,۵۳۹	۱۱,۰۳۵	۵,۸۰۲	۱,۶۸۳	بسامد سtarایروی آسیب اول
۹۸,۶۹	۹۸,۳۳	۹۴,۱۴	۹۲,۷۴	MAC (%)
۱۷,۲۳۹	۱۰,۸۰۵	۵,۷۵۸	۱,۶۷۳	بسامد سtarایروی آسیب دوم
۹۹,۷۲	۹۵,۱۶	۹۶,۰۲	۹۹,۷۹	MAC (%)
۱۷,۳۹۴	۱۰,۸۷۵	۵,۷۶۲	۱,۶۷۳	بسامد سtarایروی آسیب سوم
۹۷,۸۵	۹۶,۰۳	۸۷,۴۵	۹۹,۷۰	MAC (%)
۱۷,۰۶۷	۱۰,۷۳۲	۵,۴۷۲	۱,۶۷۲	بسامد سtarایروی آسیب چهارم
۷۵,۶۷	۷۸,۶۶	۶۶,۵۴	۹۸,۱۰	MAC (%)
۱۷,۱۷۶	۱۰,۶۹۹	۵,۷۲۰	۱,۶۴۱	بسامد سtarایروی آسیب پنجم
۹۹,۸۴	۹۳,۰۱	۹۳,۶۶	۹۹,۰۵	MAC (%)
۱۶,۸۴۳	۱۰,۳۳۲	۵,۴۱۹	۱,۶۳۹	بسامد سtarایروی آسیب ششم
۹۳,۴۲	۷۷,۰۱	۷۰,۲۲	۹۳,۶۲	MAC (%)



ب) جانایی محل ها به همراه مشخصات مصالح مدل شده.^[۲۱]

الف) موقعیت فنرها؛

شکل ۱. مدل شماتیک قاب ساختمانی.

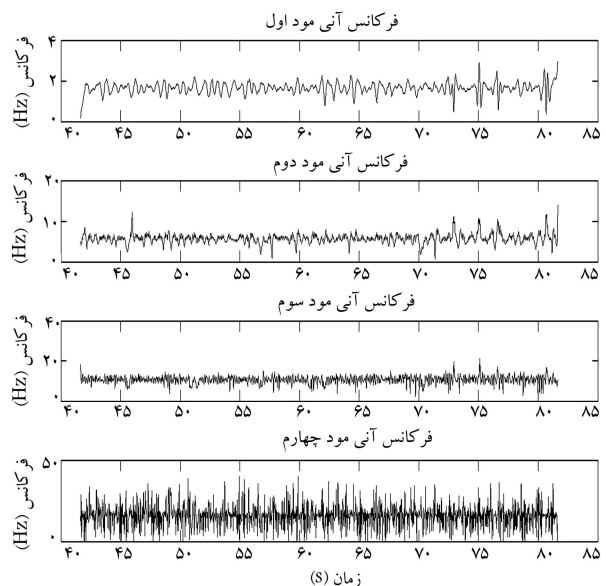
جدول ۳. مشخصات مقاطع ستون و تیر و تیرچه طبقات.

قطعه	در جهت x	در جهت y	در جهت z
ستون	$H 125 \times 125 \times 6,5 \times 9$	$H 125 \times 125 \times 6,5 \times 9$	$H 125 \times 125 \times 6,5 \times 9$
تیر	$H 150 \times 75 \times 5 \times 7$	$H 100 \times 100 \times 6 \times 8$	
تیرچه	$H 100 \times 50 \times 5 \times 7$	$H 100 \times 50 \times 5 \times 7$	

۲.۵. مدل عددی یک ساختمان ۵ طبقه‌ی سه بعدی

به منظور مدل‌سازی عددی یک سازه‌ی مبنای^۹ سه بعدی ۵ طبقه‌ی فولادی یک دهانه، از نرم‌افزار OpenSees^{۲,۴,۰} استفاده شده است. این سازه توسط مرکز ملی تحقیقات مهندسی زلزله^{۱۰} چین ساخته شده است. سازه با مقیاس ۱ به ۲ و با عرض دهانه‌ی ۳ متر در راستای x ، ۲ متر در راستای y و ارتفاع طبقات $1/3$ متر است (شکل ۵). اتصالات تیر به ستون به صورت گیردار و وزن تمامی سازه در ۳۶۶۴ کیلوگرم در نظر گرفته شده است. مشخصات مقاطع تیر، ستون و تیرچه‌های سازه در جدول ۳ نشان داده شده است. برای جزئیات بیشتر راجع به مدل، به مراجع^[۲۱, ۲۲] مراجعه شود.

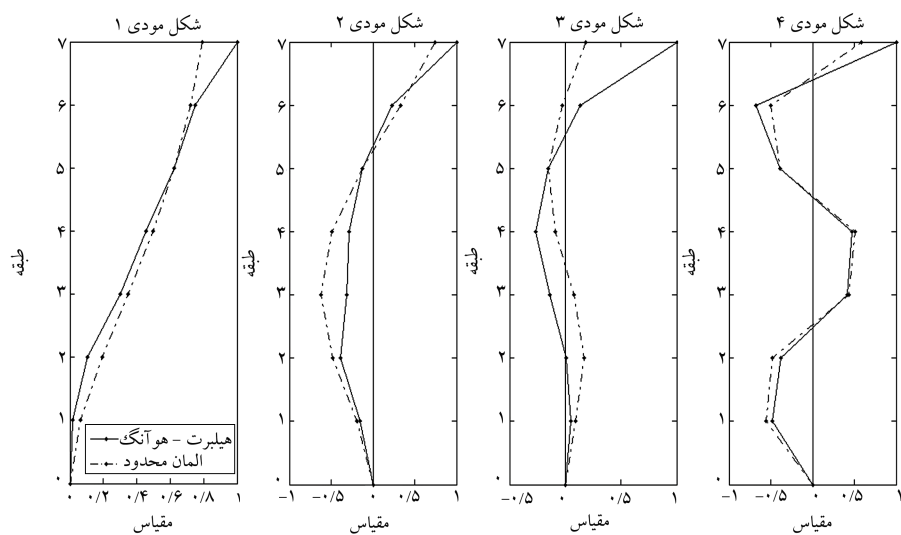
پاسخ ارتعاشی سازه، از ۵ حسگر شتاب که در مرکز طبقات نصب شده‌اند و شتاب پاسخ سازه را در جهت x ، ثبت می‌کنند، بدست آمده است. شتاب پاسخ ارتعاش را در جهت x ، ثبت می‌کنند، بدست آمده است. به منظور ثبت پاسخ ارتعاش آزاد سازه، ابتدا سازه تحت ارتعاش اجباری ناشی از زلزله‌ی کوبه^{۱۱} با بزرگای $M = ۶,۹$ و $g_{PGA} = ۰,۳۴$ قرار گرفته است، سپس شتاب پاسخ ارتعاش آزاد سازه در راستای x ثبت شده است. ابتدا سازه‌ی سالم، تحت ارتعاش اجباری ناشی از زلزله‌ی کوبه قرار گرفته و سپس شتاب پاسخ سازه تحت ارتعاش آزاد در راستای افقی ثبت شده است. سیگنال‌های



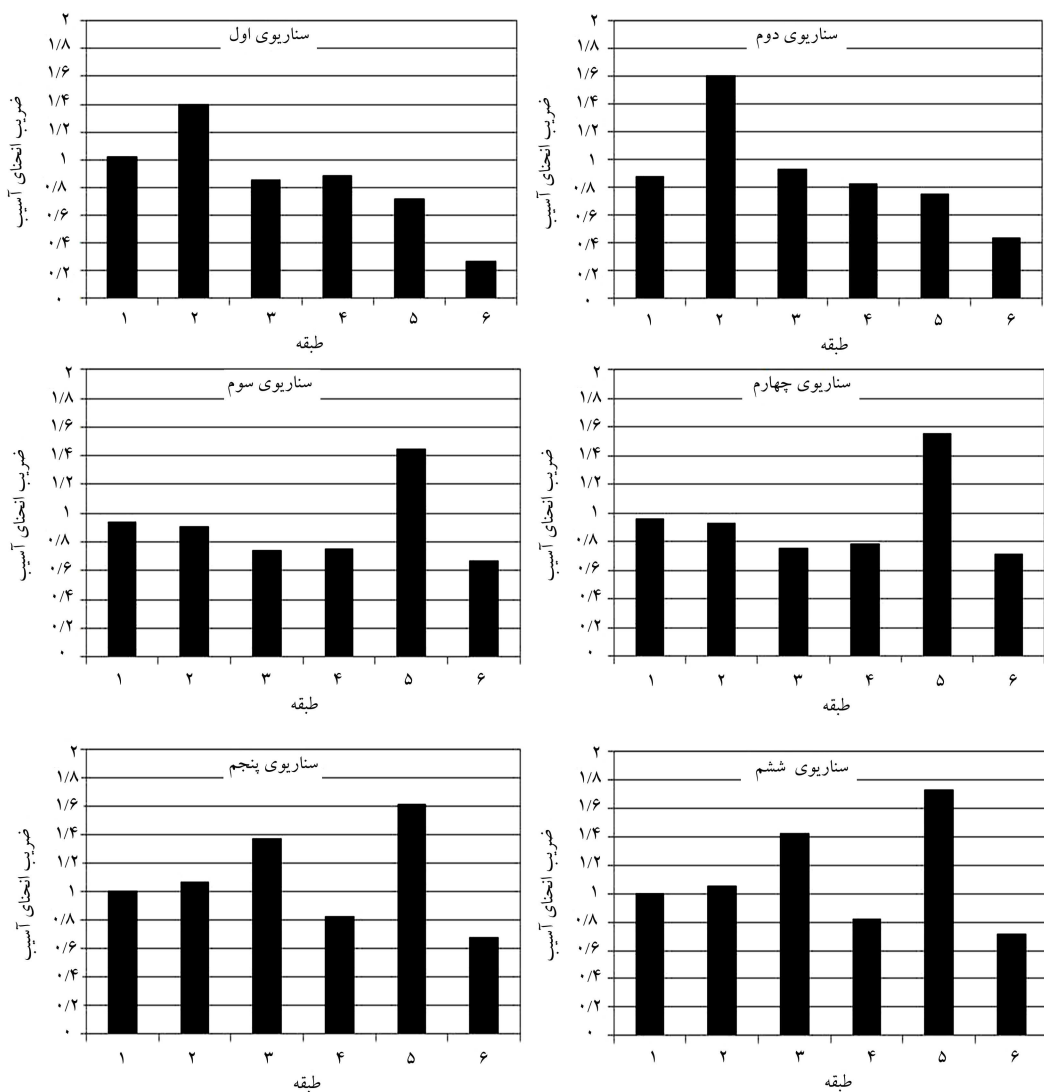
شکل ۲. بسامدهای آنی حاصل از تبدیل هیلبرت - هوآنگ مدل دو بعدی.

را به منظور مقایسه‌ی شکل‌های مودی حاصل از مدل عددی و بدست آمده از الگوریتم پیشنهادی و همچنین مقایسه‌ی سازه‌ی سالم و سناریوهای مختلف آسیب نشان می‌دهد.

ضرایب انحنای آسیب در حالت‌های مختلف و با به کارگیری تعداد متفاوت مودها محاسبه شده است. بررسی‌ها نشان می‌دهد که تنها با استفاده از مشخصات ارتعاشی دو مود اول در شناسایی آسیب به کمک الگوریتم پیشنهادی، نتایج با دقت قابل قبولی حاصل می‌شود. شکل ۴، مقادیر CDF را که شاخصی از موقعیت و شدت آسیب‌دیدگی سازه است، برای سناریوهای مختلف آسیب‌دیدگی نشان می‌دهد.



شکل ۳. مقایسه‌ی شکل‌های مودی سازه‌ی سالم برای دو حالت نرم‌افزار OpenSees و روش هیبریت - هوانگ.



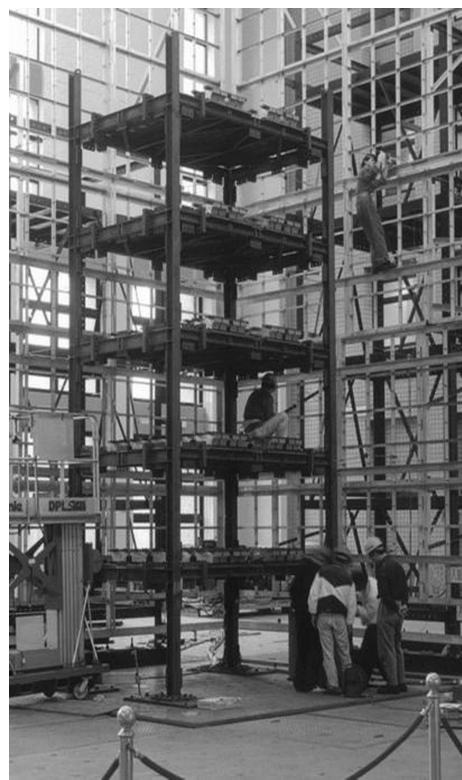
شکل ۴. ضریب انحراف آسیب (CDF) مربوط به سناریوهای مختلف آسیب‌دیدگی مدل دو بعدی.

جدول ۴. الگوی ایجاد آسیب در طبقات مدل.

سنتاریو	موقعیت آسیب
۱	مفصل کردن یک انتهای یکی از تیرها در جهت x در طبقه ۳
۲	مفصل کردن یک انتهای یکی از تیرها در جهت x در طبقات ۲ و ۴

جدول ۵. مقایسه‌ی تغییرات بسامدی (هرتز) و MAC.

	مود سوم	مود دوم	مود اول	بسامد
۸,۴۸	۴,۱۳	۱,۴۳	۱,۴۳	بسامد مدل عددی (سالم)
۸,۳۹	۴,۰۷	۱,۴۳	۱,۴۳	بسامد محاسباتی (سالم)
۹۱,۷۸	۹۰,۸۰	۹۹,۶۱		MAC (%)
۷,۶۵	۳,۵۵	۱,۲۸		بسامد سنتاریو آسیب اول
۴۲,۲۷	۶۴,۴۰	۴۶,۸۳		MAC (%)
۷,۱۰	۳,۰۸	۱,۱۵		بسامد سنتاریو آسیب دوم
۴۳,۶۱	۷۰,۳۳	۸۶,۳۸		MAC (%)



شکل ۵. مدل ساختمان ۵ طبقه‌ی مینا ۹۹-۰۰۲-NCREE [۲۳]

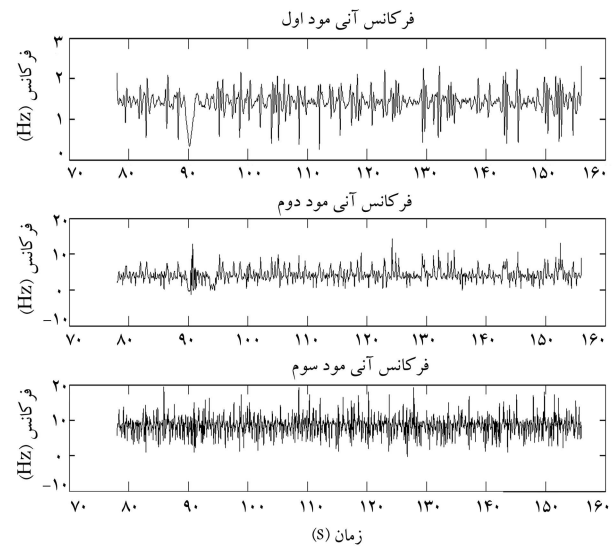
یکی از تیرهای موازی محور x صورت گرفته است. برای مدل استفاده، دو سنتاریو مختلف آسیب در نظر گرفته شده است. الگوهای آسیب در طبقات سازه مطابق با جدول ۴ اعمال شده است.

جدول ۵، مقادیر بسامد و پارامتر معیار اطمینان مدل (MAC) را به منظور مقایسه‌ی شکل‌های مودی حاصل از مدل عددی و بدست آمده از الگوریتم پیشنهادی و همچنین مقایسه‌ی سازه‌ی سالم و سنتاریوهای مختلف آسیب نشان می‌دهد.

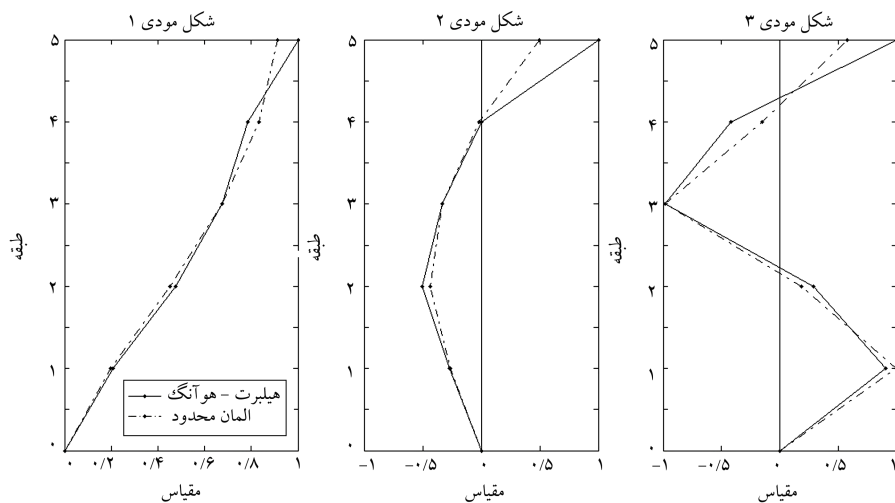
بررسی نتایج حاصل از این مدل نیز نشان می‌دهد که فقط استفاده از مشخصات ارجاعی دو مود اول در شناسایی آسیب به کمک الگوریتم پیشنهادی، نتایج مورد اطمینانی را ارائه می‌دهد. شکل ۸، مقادیر CDF را، که شاخصی از موقعیت و شدت آسیب دیدگی سازه است، نشان می‌دهد.

۶. نتیجه‌گیری

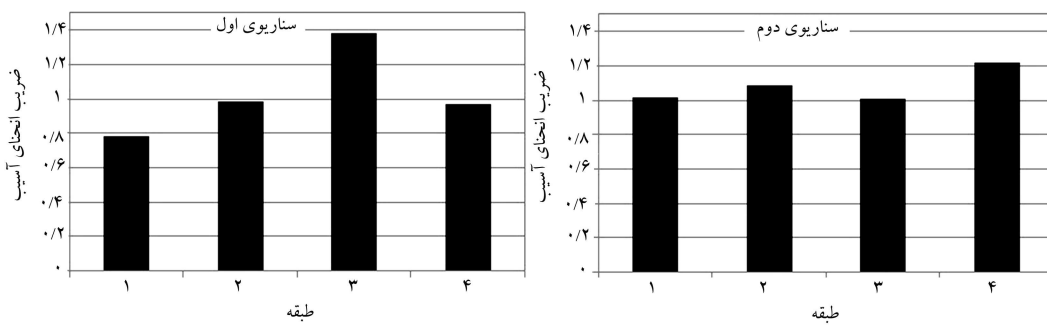
در این نوشتار ابتدا به معرفی تبدیل هیلبرت - هوآنگ بهمنزه‌ی ابزاری برای پردازش داده‌های غیریستا و غیرخطی پرداخته شده است. سپس نحوه جداسازی سیگنال‌های مودی از سیگنال‌های اصلی از طریق تفکیک مودی تجزیه مورد بحث قرار گرفته است. با استفاده از سیگنال‌های تجزیه شده، روشی برای استخراج شکل‌های مودی ارائه و به کمک آنها اقدام به شناسایی آسیب بر مبنای تغییرات انحنای مودی بین دو حالت سازه‌ی آسیب دیده و سازه‌ی سالم شده است. الگوریتم پیشنهادی قادر به شناسایی آسیب در سازه‌ها بر مبنای اندازه‌گیری شتاب پاسخ ارتعاش آزاد طبقات است، که با استفاده از آن می‌توان بسامد سازه و شکل مودی مربوط به آن را استخراج کرد. روش پیشنهادی بر روی یک قاب خمی دو بعدی ۷ طبقه و یک قاب خمی سه بعدی ۵ طبقه مورد بررسی قرار گرفته و مشاهده شده است که بسامد‌ها



شکل ۶. مقایسه‌ی بسامدهای آنی حاصل از تبدیل هیلبرت - هوآنگ مدل سه بعدی. حاصل که از طریق ۵ حسن‌گر در طبقات مختلف سازه به دست آمده‌اند، با استفاده از فیلتر میان‌گذر با تورث مرتبه‌ی چهارم با پهنای باند ۵°/۰ را فیلتر شده و تحت تجزیه مودی تجزیه‌ی قرار گرفته‌اند. شکل ۶، بسامدهای آنی به دست آمده از روش هیلبرت - هوآنگ را در محدوده زمانی و دروضعیت بدون آسیب سازه نشان می‌دهد. شکل مودی محاسباتی سازه‌ی سالم و شکل مودی حاصل از نرم‌افزار OpenSees در شکل ۷ نشان داده شده است. ایجاد آسیب در سازه از طریق مفصلی کردن اتصال تیر به ستون یک انتهای



شکل ۷. مقایسه‌ی شکل‌های مودی سازه‌ی سالم برای دو حالت نرم‌افزار OpenSees و روش هیلبرت - هوآنگ.



شکل ۸. ضریب انحنای آسیب (CDF) مربوط به سناریوهای مختلف آسیب‌دیدگی مدل سه بعدی.

آسیب با درنظرگرفتن تعداد مودهای متفاوت نشان می‌دهد که فقط با استفاده از دو مود ارتعاشی اول سازه، آسیب‌دیدگی به خوبی و با دقت بالاتری قابل تشخیص است. با وجود این، به دلیل ماهیت رابطه‌ی ارائه شده در تعیین انحنای شکل مودی، این روش در تشخیص آسیب‌دیدگی اتصالات تیر به ستون طبقه‌ی انتهایی ضعف دارد. از این رو ارائه‌ی رابطه‌ی که توانایی تعیین دقیق انحنای شکل مودی در طبقه‌ی انتهایی را دارد، مفید خواهد بود.

و همچنین شکل‌های مودی محاسباتی با استفاده از روش پیشنهادی در حالت سالم تطابق مناسبی با نتایج حاصل از نرم‌افزار المان محدود دارد. با درنظرگرفتن سناریوهای مختلف متفاوت و چندگانه‌ی آسیب‌دیدگی که بیانگر نقص در اتصال تیر به ستون هستند، مشاهده شده است که روش پیشنهادی توانایی قابل اطمینانی در تعیین موقعیت و شدت آسیب در نقاط مختلف دو مدل مورد بررسی را دارد. بررسی دو مدل موردنظر و به ازاء سناریوهای مختلف آسیب و با محاسبه‌ی ضریب انحنای

پانوشت‌ها

1. Hilbert-Huang transform
2. Empirical Mode Decomposition
3. Hilbert Spectrum Analysis
4. Intrinsic Mode Function
5. Cauchy
6. Crrvature Damage Factor
7. San Fernando
8. Butterworth
9. Benchmark

10. National Center for Research on Earthquake Engineering (NCREE)
11. Kobe

منابع (References)

1. Glisic, B. and Inaudi, D., *Fiber Optic Methods for Structural Health Monitoring*, John Wiley & Sons Ltd. (2007).
2. Doebling, S.W. and et al., *Damage Identification and Health Monitoring of Structural and Mechanical Systems*

- from Changes in Their Vibration Characteristics: A Literature Review, Los Alamos National Laboratory (1996).
3. Sohn, H. and et al., A Review of Structural Health Monitoring Literature: 1996–2001, Los Alamos National Laboratory (2004).
 4. Lynch, J.P. and Loh, K.J. “A summary review of wireless sensors and sensor networks for structural health monitoring”, *Journal of Shock and Vibration*, **38**(2), pp. 91-128 (2006).
 5. Zghala, M., Mevel, L. and Moral, P.D. “Modal parameter estimation using interacting kalman filter”, *Journal of Mechanical Systems and Signal Processing*, **47**(1-2), pp. 139-150 (2014).
 6. Sarparast, H. and et al. “Estimation of modal parameters for structurally damped systems using wavelet transform”, *European Journal of Mechanics- A Solids*, **47**, pp.82-91 (2014).
 7. Maia, N.M.M. and Silva, J.M.M., *Theoretical and Experimental Modal Analysis*, England, Research Studies Press Ltd. (1997).
 8. Shi, W., Shan, J. and Lu, X. “Modal identification of shanghai world financial center both from free and ambient vibration response”, *Journal of Engineering Structures*, **36**, pp. 14-26 (2012).
 9. Giraldo, D.F. and et al. “Modal identification through ambient vibration: Comparative study”, *Journal of Engineering Mechanics*, **135**(8), pp. 759-770 (2009).
 10. Zhang, Y., Lie, S.T. and Xiang, Z. “Damage detection method based on operating deflection shape curvature extracted from dynamic response of a passing vehicle”, *Journal of Mechanical Systems and Signal Processing*, **35**(1-2), pp. 238-254 (2013).
 11. Bai, Y. and et al. “Plane grid structure damage location identification by model curvature”, *Journal of Procedia Engineering*, **31**, pp. 534-540 (2012).
 12. Tomaszewska, A. “Influence of statistical errors on damage detection based on structural flexibility and mode shape curvature”, *Journal of Computers and Structures*, **88**(3-4), pp. 154-164 (2010).
 13. Liu, X. and et al. “Signal analysis using wavelets for structural damage detection applied to wind energy converters”, *14th International Conference on Computing in Civil and Building Engineering* (2012).
 14. Hu, H. and Proppe, C. “A hilbert-huang transform based identification method for general linear time-varying systems and weakly nonlinear systems”, *Proceeding in Applied Mathematics and Mechanics*, **11**(11), pp. 227-228 (2011).
 15. Feldman, M. “Hilbert transform in vibration analysis”, *Journal of Mechanical Systems and Signal Processing*, **25**(3), pp. 735-802 (2011).
 16. Huang, N.E. and Shen, S.S.P., *Hilbert-Huang Transform and Its Applications*, World Scientific (2005).
 17. Huang, N.E. and Wu, Z. “A review on hilbert-huang transform: Method and its applications to geophysical studies”, *Reviews of Geophysics*, **46**(2), RG2006 (2008).
 18. Chopra, A.K., *Dynamics of Structures: Theory and Applications to Earthquake Engineering*, Prentice Hall (2012).
 19. Ramezani, S. and Bahar, O. “Identification of natural frequencies based on a new enhanced hilbert-huang transform”, *The Modares Journal of Civil Engineering*, **3**, pp. 33-45 (2012).
 20. Ganguli, R. and Chandrashekhar, M. “Damage assessment of structures with uncertainty by using mode shape curvatures and fuzzy logic”, *Journal of Sound and Vibration*, **326**(3-5), pp. 939-957 (2009).
 21. Shiradhonkar, S.R. and Shrikhand, M. “Seismic damage detection in a building frame via finite element model updating”, *Journal of Computers and Structures*, **89**, pp. 2425-2438 (2011).
 22. PEER Strong Motion Database (<http://peer.berkeley.edu/smcat/>).
 23. Hung, S.-L., Huang, C.S. and Wen, C.M. “Using wavelet neural network for the identification of a building structure from experimental data”, *13th World Conference on Earthquake Engineering*, Vancouver, B.C., Canada (2004).
 24. Tang, J.-P. and et al. “A case study of damage detection in benchmark buildings using a hilbert-huang transform-based method”, *Journal of Vibration and Control*, **17**(4), pp. 623-636 (2010).